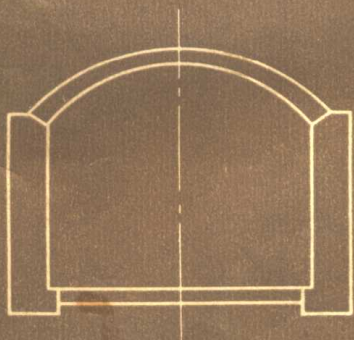


地下结构物 衬砌计算

魏 琏 著



人民铁道出版社

地下結構物衬砌計算

魏 璉 著



人民铁道出版社

1965年·北京

本书对具有直牆衬砌的地下结构物的衬砌计算方法和理论，进行了较系统的研究和推算。书中既介绍了苏联学者 C·H·纳乌莫夫、C·C·达维多夫等人有关这方面的理论和计算方法，又包括了著者在其基础上的推导和实践的经验。可供研究和改进地下结构衬砌计算方法参考。

本书可供从事铁路、公路、采矿以及其他地下建筑工作的工程技术人员工作参考。

地下結構物衬砌計算

魏 璉 著

人民铁道出版社出版

(北京市霞公府甲24号)

北京市书刊出版业营业許可証出字第 010 号

新华书店北京发行所发行

各地新华书店經售

人民铁道出版社印刷厂印

书号1757 开本 $787 \times 1092 \frac{1}{32}$ 印张 $9 \frac{5}{16}$ 字数 215 千

1 9 6 1 年 2 月 第 1 版

1 9 6 5 年 11 月 第 1 版 第 3 次 印刷

印数 1,750 册 [累] 8,280 册 定价 (科六) 1.20 元

AL59/01

前 言

在我国交通运输、水电以及采矿采煤等规模宏伟的基本建设事业中，各种类型的地下结构日见增多。因而研究地下结构衬砌之计算理论以获得完美而经济之设计，是有实用意义的。

本书研究地下结构直墙衬砌之计算理论，计十四章。其中第一章衬砌拱之计算，汇集了在地层压力、衬砌自重以及地震荷载等作用下抛物线拱及圆拱（包括等截面及变截面）计算所必须之全部公式。前者以苏联学者С·С·达维多夫（Давыдов）推导之公式为准；后者则以著者推导之公式为准^①。第二章衬砌之侧墙计算系以文克尔假定为基础，对有关公式作了详尽推演，以便读者了解其来源，俾在设计时得以灵活应用。此外，在此章中并提供了确定侧墙截面最大力矩的方法。

第三章提供了衬砌圆拱自重应力的准确计算方法，著者认为其结果既正确而计算亦简捷，建议采用之，以代替现用的各种近似计算方法。

苏联学者С·Н·纳乌莫夫（Наумов）在其所著“铁路隧道”一书中，提出了对称式单层单跨直墙衬砌的计算方法，本书第四章推导了该法中主要计算公式的来源，并将此法推广可用于（1）侧墙受荷载时；（2）阶形侧墙；（3）不对称荷载作用下之分析（侧墙不对称时亦可应用）。

^① 见魏瑾著“超静定圆拱分析”。科学技术出版社，1958。

第五章闡述了用“跨变剛构法”計算直牆襯砌的原理与具体应用，此法系將襯砌視為一种“跨变剛构”处理。因而对較复杂型式的直牆襯砌特別适用。例如第六章中，著者即將此法推广用于計算多层单間及多层多間之直牆襯砌，达到了簡化計算的目的。对于多层之地下結構直牆襯砌之計算，倘將楼层視為不存在而套用单层单間襯砌的分析法，或甚而竟套用朱布二氏之馬蹄形襯砌計算法，則此种計算將极不合理实屬显而易见。

第七章研究了直牆襯砌拱部彈性抗力的計算問題，其中并提供了著者建議的一种新計算方法。

大型块件装配式襯砌，是一种新型的装配式的地下結構物襯砌，在1958年大跃进的形势下，我国鉄道部試制成功单綫隧道的素混凝土大型块件装配式襯砌，这对加速施工进度，推行机械化施工，解除工人沉重的体力劳动，均具有重大意义。本書第八、第九两章，提供了此种型式襯砌的計算方法，可供实际設計之参考与采擇。

第十章系將納氏計算法中牆頂彈性变位公式与著者导得的牆頂調整彈性常数加以沟通与比較，这可有助于讀者进一步对二法的了解，在某些情况下并可以收到簡化計算之功效。

第十一及十二两章提供了考虑彈性层厚度的剛性牆襯砌計算方法，此系將苏联 C·C·达維多夫教授創議用于馬蹄形襯砌之計算理論加以推广而得。

第十三章闡述了直牆襯砌輪廓修正的計算方法，既可免除現有“繪图試湊法”的麻煩，提高設計工效，又可保証設計的質量。

第十四章闡述了阶形側牆的两种計算方法，对于地下式厂房、儲庫或电站，采用阶形側牆之襯砌可以应用。

综上所述，本书之阐述大体已包括直牆衬砌计算问题的各个方面。本书原计划分章刊出，少数章节并已在期刊上发表过。但鉴于目前有关地下结构衬砌计算理论之专著不多，而在实际工作中广大的读者则更需要比较系统的论述，因而将各章稍加整理使成一系统，并补充第一、二两章详细阐述单个衬砌拱及侧牆的计算，而成此书。

由于著者实际从事衬砌计算及研究的时间很少，因而本书之论述多系一孔之见，不妥之处，望国内专家及读者们指正。

目 录

第一章	地下结构衬砌拱之计算	1
第二章	衬砌侧墙之计算	39
第三章	衬砌圆拱自重应力之准确计算	64
第四章	直墙衬砌计算方法 (C·H·纳乌莫夫方法) 之公式推证与补充推广	80
第五章	用跨变刚构法计算各种型式之直墙衬砌	106
第六章	多层多间直墙衬砌之计算	153
第七章	直墙衬砌拱部之弹性抗力	175
第八章	大型块件装配式衬砌之计算	192
第九章	利用侧墙的弹性变位及修正弹性常数公式 简化大型块件装配式衬砌之计算	210
第十章	侧墙弹性变位及墙顶修正 弹性常数的沟通比较	216
第十一章	刚性墙衬砌之新计算方法	221
第十二章	有仰拱刚性墙衬砌的计算方法	239
第十三章	直墙衬砌轮廓修正之算法 及工程量计算公式	249
第十四章	弹性地基上阶形梁之修正弹性常数 及其计算方法	260
附 录:		
一、	普氏卸荷拱理论简述	270
二、	普氏岩层坚硬系数 (f) 表	272
三、	岩层弹性抗力系数表	273
四、	φ_1 、 φ_2 、 φ_3 及 φ_4 函数表	276
五、	函数 $\eta_1 \sim \eta_4$ 表	281
六、	函数 $\rho_1 \sim \rho_{10}$ 表	283
七、	弹性地基梁端的定端力矩及剪力	286
八、	考虑墙基实际约束时墙顶的调整定端力矩及侧力	290
九、	拱端相对下陷引起之定端力矩及侧力	291

第一章 地下結構襯砌拱之計算

地下結構物之襯砌通常由上部拱和下部邊牆及底板所構成(圖 1—1)。上部拱為襯砌承重之重要構件，通常採用拋物綫拱或圓曲綫拱(後簡稱圓拱)，用混凝土，有時亦用鋼筋混凝土或磚石砌體築成，目前均按彈性體理論進行計算。襯砌拱通常承受下列荷載：

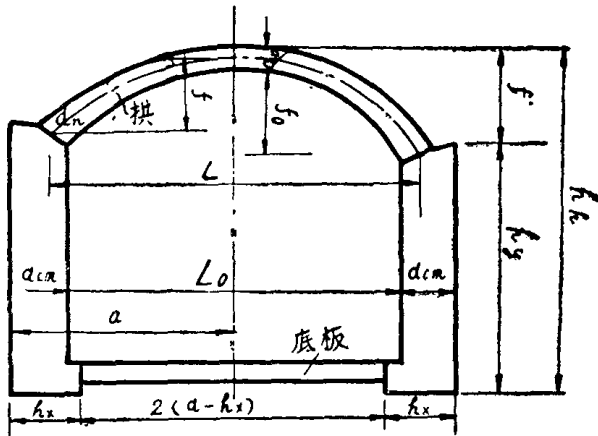


圖 1—1

1. 地層壓力，常為襯砌之主要荷載；
2. 襯砌拱之自重；
3. 其他特殊荷載，如灌漿壓力，地震荷載，地表荷載作用之影響等，這些荷載在一般襯砌計算中常不予考慮；
4. 溫度變化及混凝土收縮影響。由於地下結構一般所受溫度變化之影響較小，加之截面厚度一般不很大，因此其

影响往往略去不計，但在較重要之地下結構，跨长及截面厚度均較大时，仍以核算为宜；

5. 由于岩层变形引起襯砌拱端（壩頂）变位产生拱内附加应力。将荷載及拱端变位影响引起之内力疊加，即为計算所需之襯砌拱之最終内力。

本文拟根据上述各种荷載列述拱变位之計算公式。計算采用彈性中心法，故所列公式均为彈心处之变位公式，且限于对称之拱形結構。为节省篇幅，各式来由一概从略，只列出計算公式結果及适用范围，但指明有关文献以便讀者查閱。

§1-1 采用彈性中心法时拱之基本計算理論

图1-2示一对称拱 BC ，受有荷載，在拱頂截面切开并以剛性悬臂連接至彈性中心，彈心处作用有未知内力 M_0 。（力

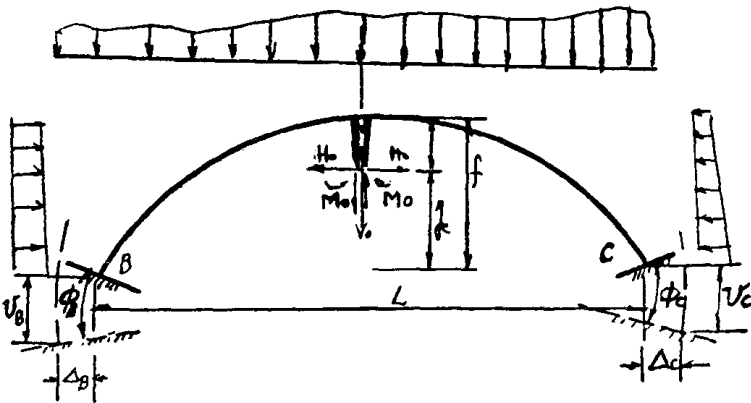


图 1-2

矩）， H_0 （水平推力）及 V_0 （切力）。設在荷載作用下拱左右两端各产生了角变 ϕ_B 及 ϕ_C （以向外旋轉为正），水平位移 Δ_B 及 Δ_C （以向外者为正）以及垂直位移 v_B 及 v_C （均以

向下者为正)，則由彈性中心法理論，知拱彈心处內力可以用下式計算：

$$\left. \begin{aligned}
 M_o &= -\frac{\Delta_{1p}}{\delta_{11}} - \frac{\phi_B + \phi_C}{\delta_{11}} = M_o^F - \frac{\phi_B + \phi_C}{\delta_{11}} \\
 H_o &= -\frac{\Delta_{2p}}{\delta_{22}} - \frac{(\phi_B + \phi_C)y_c}{\delta_{22}} - \frac{\Delta_B + \Delta_C}{\delta_{22}} = \\
 &= H_o^F - \frac{(\phi_B + \phi_C)y_c}{\delta_{22}} - \frac{\Delta_B + \Delta_C}{\delta_{22}} \\
 V_o &= -\frac{\Delta_{3p}}{\delta_{33}} - \frac{v_B - v_C}{\delta_{33}} + \frac{(\phi_B - \phi_C)\frac{L}{2}}{\delta_{33}} \\
 &= V_o^F - \frac{v_B - v_C}{\delta_{33}} + \frac{(\phi_B - \phi_C)\frac{L}{2}}{\delta_{33}}
 \end{aligned} \right\} (1)$$

在以上各式中：

Δ_{1p} , Δ_{2p} , Δ_{3p} ——彈心处的三个載变位(角变, 水平位移, 垂向位移)，系由拱上荷載及溫度变化等外部影响所引起，其計算公式将于第四节內列出。

δ_{11} , δ_{22} , δ_{33} ——彈心处的三个单位变位(角变, 水平位移, 垂向位移)，各系由彈心处作用单位力矩 ($M_o=1$)，或单位水平推力 ($H_o=1$) 或单位切力 ($V_o=1$) 所生之变位，其公式則将于第三节內列述。

ϕ_B, ϕ_C ——拱左右端之角变，以向外旋轉者为正。

Δ_B, Δ_C ——拱左右端之水平位移，以向外位移者为正。

v_B, v_C ——拱左右端之垂向位移，均以向下者为正。

y_c ——拱彈心至拱端之垂距(= $f - c$, f 为拱計算矢高, c 为彈心之高度, 均見图示)。

L ——拱計算跨长。

$$\left. \begin{aligned} M_o^F &= -\frac{\Delta_{1p}}{\delta_{11}} \\ H_o^F &= -\frac{\Delta_{2p}}{\delta_{22}} \\ V_o^F &= -\frac{\Delta_{3p}}{\delta_{33}} \end{aligned} \right\} \quad (2)$$

M_o^F, H_o^F, V_o^F 各表示拱端固定(Fixed-end), 即拱端各項变位均为零时拱彈心处的力矩, 水平推力与切力。

拱彈心处单位变位 $\delta_{11}, \delta_{22}, \delta_{33}$ 以及拱彈心位置 c, y_c 的算式均依不同曲綫的拱而异, 将在下节列出其公式。

一般襯砌及所受荷載均为对称, 假定兩側岩层变形引起拱端变位亦相同, 以上公式簡化如下:

$$\left. \begin{aligned} \phi_B &= \phi_C = \phi \\ \Delta_B &= \Delta_C = \Delta \\ v_B &= v_C \end{aligned} \right\} \quad (3)$$

彈心处載变位 $\Delta_{3p} = 0$, 由此得:

$$\left. \begin{aligned} M_o &= -\frac{\Delta_{1p}}{\delta_{11}} - \frac{2\phi}{\delta_{11}} = M_o^F - \frac{2\phi}{\delta_{11}} \\ H_o &= -\frac{\Delta_{2p}}{\delta_{22}} - \frac{2\Delta}{\delta_{22}} - \frac{2\phi y_c}{\delta_{22}} = \\ &= H_o^F - \frac{2\phi y_c}{\delta_{22}} - \frac{2\Delta}{\delta_{22}} \end{aligned} \right\} \quad (4)$$

$$V_o = 0$$

拱端 BC 及 CB 处的定端力矩及推力为:

$$\left. \begin{aligned} M_{BC}^F &= M_o + H_o y_c - \frac{1}{2} V_o L + M'_{PL} \\ H_{BC}^F &= H_o + H'_{PL} \\ M_{CB}^F &= M_o + H_o y_c + \frac{1}{2} V_o L + M'_{PR} \\ H_{CB}^F &= H_o + H'_{PR} \end{aligned} \right\} \quad (5)$$

式中：

M'_{PL} , M'_{PR} ——各为左半拱及右半拱上荷载对左拱端或右拱端之力矩；

H'_{PL} , H'_{PR} ——各为左半拱及右半拱上水平荷载之总和。拱端之垂直反力（以向上为正）：

$$\left. \begin{aligned} V_{BC}^F &= V_o + V'_{PL} \\ V_{CB}^F &= -V_o + V'_{PR} \end{aligned} \right\} \quad (6)$$

式中：

V'_{PL} , V'_{PR} ——各为左半拱及右半拱之垂直荷载之总和。

当襯砌拱及所受荷载为对称，则彈心处切力 $V_o = 0$ ，

$M'_{PL} = M'_{PR} = M'_P$, $H'_{PL} = H'_{PR} = H'_P$, $V'_{PL} = V'_{PR} = V'_P$ ，

以上公式相应简化如下：

$$\left. \begin{aligned} M_{BC}^F &= M_{CB}^F = M_o + H_o y_c + M'_P \\ H_{BC}^F &= H_{CB}^F = H_o + H'_P \\ V_{BC}^F &= V_{CB}^F = V'_P \end{aligned} \right\} \quad (7)$$

拱上任意截面 x 处所产生内力为（见图1—3）：

力矩：

$$M_x = M_o + H_o(y - c) \mp V_o x + M_{px} \quad (8a)$$

軸压力：

$$N_x = (H_o + H_{px}) \cos \phi_x + (\pm V_o + V_{px}) \sin \phi_x \quad (8b)$$

切力：

$$Q_x = \mp (H_o + H_{px}) \sin \phi_x \pm (\pm V_o + V_{px}) \cos \phi_x \quad (8c)$$

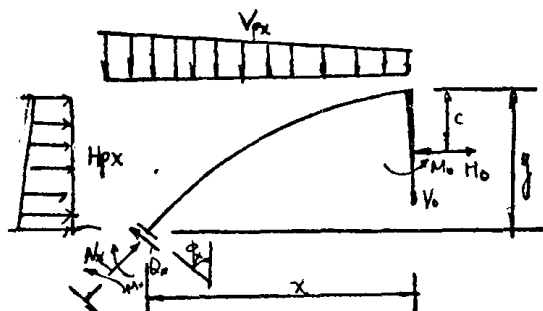


图 1-3

式中：

M_{px} , H_{px} , V_{px} ——半拱上荷载对 x 截面处产生之力矩，水平力及垂直力；

ϕ_x ——拱上 x 截面与垂线之交角（见图1-3）；

x, y —— x 截面的横座标与纵座标。

在公式（8）中，上边的符号指左半拱，下边的符号指右半拱（后同）。

当砌拱及所受荷载对称时，式（8）即简化为：

$$\left. \begin{aligned} M_x &= M_0 + H_0(y - c) + M_{px} \\ N_x &= (H_0 + H_{px})\cos\phi_x + V_{px}\sin\phi_x \\ Q_x &= \mp (H_0 + H_{px})\sin\phi_x \pm V_{px}\cos\phi_x \end{aligned} \right\} \quad (9)$$

在采用以上公式计算单个之砌拱时，内力正负号规定如下：

1. 力矩：以使拱内缘受拉者为正。
2. 轴向力：以使拱轴压缩者为正。
3. 剪力：对左边截面以向上为正，对右边截面以向下为正；反之均为负。

§ 1-2 襯砌拱单位变位计算公式

(一) 拋物綫拱:

取座标軸如图 1—4, 拱頂为原点, 令 f, L 各表示其矢高与跨长, 則拱軸方程式可写为:

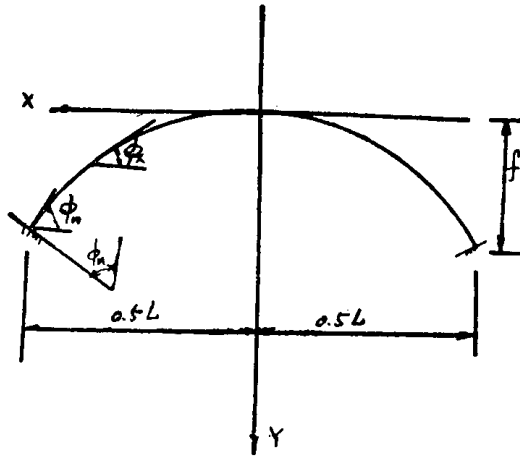


图 1-4

$$y = -\frac{4f}{L^2}x^2 \quad (10)$$

任一点之斜率:

$$\left. \begin{aligned} \tan \phi_x &= \frac{dy}{dx} = -\frac{8f}{L^2}x \\ \phi_x &= \arctan\left(-\frac{8f}{L^2}x\right) \\ \cos \phi_x &= \frac{1}{\sqrt{1+\tan^2 \phi_x}}, \quad \sin \phi_x = \frac{\tan \phi_x}{\sqrt{1+\tan^2 \phi_x}} \end{aligned} \right\} \quad (11)$$

在拱端截面, 截面与垂綫之交角用 ϕ_n 表示, 得:

$$\left. \begin{aligned} \tan \phi_n &= \frac{8f}{L^2} \cdot \frac{L}{2} = \frac{4f}{L} \\ \phi_n &= \arctan\left(\frac{4f}{L}\right) \end{aligned} \right\} (12)$$

同理：

$$\cos \phi_n = \frac{1}{\sqrt{1 + \tan^2 \phi_n}}, \quad \sin \phi_n = \frac{\tan \phi_n}{\sqrt{1 + \tan^2 \phi_n}}$$

拱彈心位置：

$$\left. \begin{aligned} c &= 0.337f \textcircled{1} \\ y_c &= f - c = 0.663f \end{aligned} \right\} (13)$$

式中：

f —— 拱矢高；

$$\left. \begin{aligned} \delta_{11} &= \frac{L}{EI_0} \\ \delta_{22} &= 0.08766 f^2 L \left[1 + \beta_1 \left(\frac{d_0}{f} \right)^2 \right] \frac{1}{EI_0} \\ \delta_{33} &= \frac{L^3}{12EI_0} \left[1 + \beta_2 \left(\frac{d_0}{L} \right)^2 \right] \end{aligned} \right\} (14)$$

式中， δ_{22} 及 δ_{33} 均考虑了軸向力的影响， β_1, β_2 即为考虑軸向力影响的系数，各由下述公式及算表求算：

$$\left. \begin{aligned} \beta_1 &= 0.954 \frac{\arctan\left(\frac{4f}{L}\right)}{\left(\frac{4f}{L}\right)} \\ \beta_2 &= 1 - \frac{\arctan\left(\frac{4f}{L}\right)}{\left(\frac{4f}{L}\right)} \end{aligned} \right\} (14a)$$

① 以下公式之推証，均見 С.С.Давыдов 著“地下結構計算与設計”一書。〔2〕

d_0 ——拱頂截面厚度；

I_0 ——拱頂截面慣矩；

E ——拱材彈性模量。

系数 β_1 及 β_2 随矢高比而变的值如下表所示。

系数值 β_1 及 β_2

表 1-1

β \ f/l	$\frac{1}{2}$	$\frac{1}{2.5}$	$\frac{1}{3.0}$	$\frac{1}{3.5}$	$\frac{1}{4.0}$	$\frac{1}{4.5}$	$\frac{1}{5.0}$
β_1	0.528	0.605	0.663	0.711	0.750	0.780	0.806
β_2	0.446	0.366	0.305	0.255	0.214	0.183	0.155

实用中因 δ_{33} 項內之軸向力影响很小，亦可略去不計，而在 δ_{22} 項內之軸向力影响稍大些，且拱水平推力之計算要求精度較高，可酌予計入。如不計軸向力的影响，則彈心处单位变位的計算公式可簡化成如下形式：

$$\left. \begin{aligned} \delta_{11} &= \frac{1}{E I} L \\ \delta_{22} &= 0.08766 f^2 L \frac{1}{E I} \\ \delta_{33} &= \frac{1}{12 E I} L^3 \end{aligned} \right\} \quad (15)$$

(二) 圓拱①：

取座标軸如图1—5，拱頂为原点，令 f 、 L 各表示圓拱之矢高与跨长，則拱軸方程式可写为：

$$x^2 + y^2 = 2r y \quad (16)$$

① 本节公式之推导均見魏璉著“超靜定圓拱分析”一書，上海科学技术出版社，1958年。[10]

或表为参数方程（见图4）：

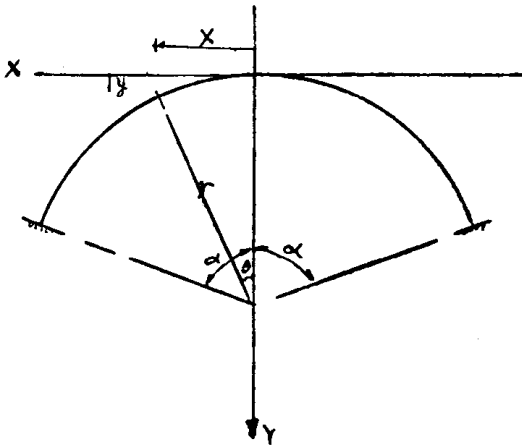


图 1-5

$$\begin{cases} x = r \sin \theta \\ y = r(1 - \cos \theta) \end{cases} \quad (17)$$

式中：

r ——圆拱半径；

x, y ——圆拱上任一点的横坐标与纵坐标；

θ ——圆拱上任一点与圆心联线及垂线形成的交角。

圆拱半径 r 可由下式计算：

$$r = 0.5 \left(R + \frac{0.25}{R} \right) L \quad (18)$$

式中：

R ——矢高比 $\left(= \frac{f}{L} \right)$ 。

圆拱的半圆心角 α 由下式计算：

$$\sin \alpha = \frac{L}{2r}$$